

$$\begin{aligned}
 A_{ml} &= \int_{-h}^h \frac{1+k_2\gamma}{1+k_1\gamma} \varphi_m \varphi_l d\gamma; & B_{ml} &= \int_{-h}^h \frac{1+k_1\gamma}{1+k_2\gamma} \varphi_m \varphi_l d\gamma; \\
 C_{ml} &= \int_{-h}^h (1+k_1\gamma)(1+k_2\gamma) \varphi_m \varphi_l d\gamma; & D_{ml} &= \int_{-h}^h \varphi_m \varphi_l d\gamma; \\
 R_{ml} &= \int_{-h}^h (1+k_1\gamma) \varphi_m \varphi_l d\gamma; & P_{ml} &= \int_{-h}^h (1+k_2\gamma) \varphi_m \varphi_l d\gamma.
 \end{aligned} \tag{14}$$

Подставив выражения (13) в (3), (4) с учетом (7), (14), получим замкнутую систему дифференциальных уравнений и граничных условий относительно неизвестных функций  $u_m, v_m, w_m$  разложения (2). Выбирая в качестве системы  $\{\varphi_m\}$  функции

$$1, \cos a_1\gamma, \cos a_2\gamma, \dots, \cos a_n\gamma, \tag{15}$$

где  $a_m = \frac{\pi m}{h}$ , можно построить приближенную систему уравнений динамической термоупругости тонких оболочек. Для этого с точностью до членов порядка  $k_1 h, k_2 h$  в соотношениях (3), (13) можно принять, что матрицы коэффициентов  $A_{ml}, A_{ml}^0, B_{ml}, D_{ml}$  диагональные с элементами, равными  $2h$  при  $m=l=0$  и  $h$  при  $m=l \neq 0$ ; матрица коэффициентов  $C_{ml}$  диагональная с элементами по диагонали, равными  $\frac{\pi^2 m^2}{h}$ ; матрицы коэффициентов  $R_{ml}, P_{ml}$  нулевые.

Отметим, что при линейном представлении перемещений по толщине оболочки в рамках классической теории Кирхгофа — Лява система (3) совпадает с приведенной, например, в работе [9].

1. Абовский Н. П., Андреев Н. П., Деруга А. П. Вариационные принципы в теории упругости и теории оболочек. — М.: Наука, 1978. — 287 с.
2. Айнола Л. Я. Вариационные принципы динамики теории оболочек. — Докл. АН СССР, 1967, 172, № 6, с. 1296—1298.
3. Алумляэ М. А. Одна вариационная формула для исследования тонкостенных упругих оболочек в посткритической стадии. — Прикл. математика и механика, 1950, 14, вып. 2, с. 197—202.
4. Власов В. З. Избранные труды. — М.: Изд-во АН СССР, 1962. — Т. 1. 528 с.
5. Вольмир А. С. Устойчивость деформируемых систем. — М.: Наука, 1967. — 984 с.
6. Коваленко А. Д. Основы термоупругости. — Киев: Наук. думка, 1970. — 307 с.
7. Муштари Х. М., Галимов К. З. Нелинейная теория упругих оболочек. — Казань: Таткнигоиздат, 1957. — 431 с.
8. Огибалов П. М., Колтунов М. А. Оболочки и пластины. — М.: Изд-во Моск. ун-та, 1969. — 695 с.
9. Подстригач Я. С., Швец Р. Н. Термоупругость тонких оболочек. — Киев: Наук. думка, 1978. — 343 с.
10. Тимошенко С. П., Гудьер Д. Теория упругости. — М.: Наука, 1979. — 560 с.

Львовский университет

Поступила в редколлегию  
14.04.81

УДК 536.12

О. В. Побережный

**О ВЛИЯНИИ ВЕЛИЧИНЫ ОБЛАСТИ ДЕЙСТВИЯ ТЕМПЕРАТУРНОЙ НАГРУЗКИ  
НА КОЭФФИЦИЕНТЫ ИНТЕНСИВНОСТИ НАПРЯЖЕНИЙ ПЛАСТИНЫ  
С ПОЛУБЕСКОНЕЧНЫМ РАЗРЕЗОМ**

В настоящее время имеется незначительное количество работ, посвященных исследованию влияния частичной загрузки берегов разреза на коэффициенты интенсивности напряжений [1, 3, 4], причем в работах [3, 4] предполагалось, что пластина термоизолирована с боковых поверхностей. В данной работе исследуется влияние нестационарности температурного поля,

величины области температурной загрузки, теплоотдачи пластинки на коэффициенты интенсивности напряжений.

Рассмотрим тонкую изотропную неограниченную пластину толщиной  $2\delta$  с полубесконечным разрезом вдоль луча  $y = 0, x > 0$ . С боковых поверхностей пластинки осуществляется теплообмен с внешней средой по закону Ньютона, а на части разреза  $x > a$  задана температура  $T_1(x, t)$ . Температурное поле  $T(x, y, t)$ , удовлетворяющее уравнению теплопроводности

$$\frac{\partial^2 T}{\partial x^2} + \frac{\partial^2 T}{\partial y^2} - \kappa^2 T = \frac{1}{q} \frac{\partial T}{\partial t}, \quad (1)$$

граничным

$$T(x, 0, t) = T_1(x, t), \quad x > a; \quad (2)$$

$$\left. \frac{\partial T}{\partial y} \right|_{y=0} = 0, \quad x < a$$

и начальному

$$T(x, y, 0) = 0 \quad (3)$$

условиям, представляем в виде аналога теплового потенциала простого слоя [2]

$$T(x, y, t) = \frac{1}{4\pi} \int_a^\infty \int_0^t \frac{\varphi(\xi, \tau)}{t-\tau} \exp\left[-\frac{(x-\xi)^2 + y^2}{4q(t-\tau)} - \kappa^2 q(t-\tau)\right] d\tau d\xi \quad (4)$$

с неизвестной плотностью  $\varphi(\xi, \tau)$ , которая определяется из уравнения [2]

$$\frac{1}{4\pi} \int_a^\infty \int_0^t \frac{\varphi(\xi, \tau)}{t-\tau} \exp\left[-\frac{(x-\xi)^2}{4q(t-\tau)} - \kappa^2 q(t-\tau)\right] d\tau d\xi = T_1(x, t). \quad (5)$$

В соотношениях (1) — (5) обозначено  $\kappa^2 = \frac{\alpha_0}{\lambda\delta}$ ;  $\alpha_0, \lambda$  — соответственно коэффициенты теплообмена и теплопроводности;  $\delta$  — толщина пластинки;  $q$  — температуропроводность тела.

Теория интегральных уравнений вида (5) разработана еще недостаточно. В настоящее время известны лишь решения этого уравнения для некоторых частных случаев.

Для прямолинейных трещин очень часто более эффективным оказывается метод интегральных преобразований. В этом случае решение уравнения (1) в трансформантах Лапласа — Карсона, удовлетворяющее начальному условию и ограниченное на бесконечности, представляется в виде

$$\bar{T}(x, y, p) = \frac{1}{\sqrt{2\pi}} \int_{ic-\infty}^{ic+\infty} A(\xi, p) e^{-|\gamma_1|y} e^{-i\xi x} d\xi, \quad (6)$$

где  $\gamma_1 = \sqrt{\xi^2 + \beta^2}$ ;  $\beta = \sqrt{\kappa^2 + \frac{p}{q}}$ ;  $p$  — параметр преобразования, черточкой обозначены трансформанты по времени.

Удовлетворяя граничным условиям, записанным в трансформантах Лапласа — Карсона, получим для определения  $A(\xi, p)$  дуальные интегральные уравнения

$$\int_{ic-\infty}^{ic+\infty} A(\xi, p) e^{-i\xi x} d\xi = \sqrt{2\pi} \bar{T}_1(x, p), \quad x > a, \quad (7)$$

$$\int_{ic-\infty}^{ic+\infty} \gamma_1 A(\xi, p) e^{-i\xi x} d\xi = 0, \quad x < a,$$

методы решения которых хорошо исследованы в работе [6].

Предполагая, что берега разреза не контактируют в процессе деформации, для определения обусловленного температурным полем  $T(x, y, t)$

термоупругого состояния пластины с разрезом, поступим следующим образом. Посредством термоупругого потенциала перемещений  $F$ , удовлетворяющего уравнению

$$\frac{\partial^2 F}{\partial x^2} + \frac{\partial^2 F}{\partial y^2} = (1 + \nu) \alpha_l T, \quad (8)$$

определим напряженное состояние сплошной пластины, обусловленное температурой  $T(x, y, t)$ . Применяя к уравнению (8) интегральные преобразования Фурье и Лапласа — Карсона, учитывая соотношение (6) и условие симметрии задачи относительно оси  $y$ , находим

$$\bar{F}(\xi, y, p) = \frac{(1 + \nu) \alpha_l}{\beta^2} A(\xi, p) \left[ e^{-\nu_1 |y|} - \frac{\nu_1}{|\xi|} e^{-|\xi| |y|} \right]. \quad (9)$$

Здесь  $\nu, \alpha_l$  — соответственно коэффициенты Пуассона и линейного теплового расширения; волнистой чертой обозначено трансформанту Фурье по координате  $x$ . Зная термоупругий потенциал перемещений, напряжения  $\sigma_{ij}^0(x, y, t)$  в сплошной пластинке определяем известными формулами [7].

Разрежем пластину вдоль положительной части оси  $x > 0$  и освободим берега разреза от внешней нагрузки, используя при этом комплексные потенциалы Колосова — Мусхелишвили, посредством которых определяются компоненты  $\sigma_{ij}^*$  дополнительного напряженного состояния [5]. Сумма этих двух напряженных состояний определяет термоупругое состояние пластины с полубесконечным разрезом. В частности, нормальные напряжения  $\sigma_{yy}^*$  вблизи конца разреза на его продолжении определяются формулой [5]

$$\sigma_{yy}^*(x, 0, t) = \frac{1}{\pi \sqrt{|x|}} \int_0^\infty \frac{\sigma_{yy}^0(\xi, 0, t)}{\sqrt{\xi}} d\xi + 0 \quad (1).$$

По известному напряженному состоянию в окрестности вершины трещины легко определить коэффициенты интенсивности напряжений. В рассматриваемом случае имеем

$$k_1(t) = \frac{1}{\pi} \int_0^\infty \frac{\sigma_{yy}^0(\xi, 0, t)}{\sqrt{\xi}} d\xi, \quad k_2(t) = 0. \quad (10)$$

Как видно из формул (10), для определения коэффициентов интенсивности напряжений достаточно решения только задачи теплопроводности.

**П р и м е р 1.** Рассмотрим случай, когда  $T_1(x, t) = T_0 = \text{const}$ . Тогда решения интегрального уравнения (5), записанное в изображениях Лапласа — Карсона, и дуальных интегральных уравнений (7) имеют соответственно вид

$$\bar{\varphi}(\xi, p) = 2T_0 \left\{ \beta \operatorname{erf} \sqrt{\beta} (\xi - a) + \sqrt{\frac{\beta}{\pi}} \frac{\exp[-\beta(\xi - a)]}{\sqrt{\xi - a}} \right\}, \quad (11)$$

$$A(\xi, p) = \frac{T_0}{\sqrt{2\pi}} \frac{i\sqrt{-i\beta}}{\xi \sqrt{\xi - i\beta}} e^{i\xi a},$$

где  $i = \sqrt{-1}$ ;  $\operatorname{erf} x = \frac{2}{\sqrt{\pi}} \int_0^x \exp(-y^2) dy$ .

Из формул (4), (6) с учетом (11) находим

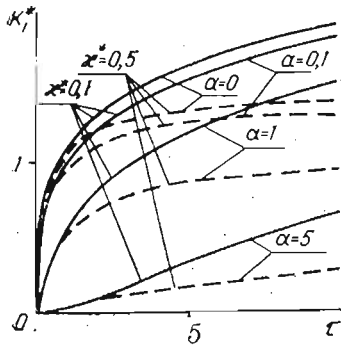
$$\bar{T}(x, 0, p) = \begin{cases} T_0, & x > a, \\ T_0(1 - \operatorname{erf} \sqrt{\beta}(a - x)), & x < a. \end{cases} \quad (12)$$

Применяя к выражению (12) обратное преобразование Лапласа — Карсона, получаем

$$T(x, 0, t) = \begin{cases} T_0, & x > a, \\ \frac{T_0}{2\pi} \int_1^\infty f(u, a - x, t) \frac{du}{u\sqrt{u-1}}, & x < a, \end{cases} \quad (13)$$

где

$$f(u, x, t) = \exp(-\kappa xu) \operatorname{erfc}\left(\frac{xu}{2\sqrt{qt}} - \kappa\sqrt{qt}\right) + \\ + \exp(\kappa xu) \operatorname{erfc}\left(\frac{xu}{2\sqrt{qt}} + \kappa\sqrt{qt}\right); \quad \operatorname{erfc} x = 1 - \operatorname{erf} x.$$



Из соотношения  $\sigma_{yy}^0 = -2G \frac{\partial^2 F}{\partial x^2}$  с учетом формул (9), (11) находим

$$\sigma_{yy}^0(x, 0, t) = \begin{cases} \sigma'_{yy}(x, 0, t), & x < a, \\ \sigma''_{yy}(x, 0, t), & x > a. \end{cases}$$

Здесь

$$\sigma'_{yy}(x, 0, t) = -\frac{\alpha_t(1+\nu)GT_0}{\pi} \times \\ \times \left\{ \int_0^{\infty} \frac{u - \sqrt{u^2 - 1}}{\sqrt{u - 1}} f(u, a - x, t) du - \right. \\ \left. - \int_0^1 \sqrt{u + 1} f(u, a - x, t) du \right\};$$

$$\sigma''_{yy}(x, 0, t) = -\frac{\alpha_t(1+\nu)GT_0}{\pi} \int_0^1 \sqrt{1 - u} f(u, x - a, t) du. \quad (14)$$

Коэффициент интенсивности напряжений  $k_1(t)$  с учетом формул (14) определяется так:

$$k_1(t) = \frac{1}{\pi} \left\{ \int_0^a \sigma'_{yy}(\xi, 0, t) \frac{d\xi}{\sqrt{\xi}} + \int_a^{\infty} \sigma''_{yy}(\xi, 0, t) \frac{d\xi}{\sqrt{\xi}} \right\}. \quad (15)$$

На рисунке показано изменение коэффициента интенсивности напряжений  $k_1^* = -\pi k_1 [\alpha_t(1+\nu)GT_0\sqrt{\delta}]^{-1}$  от безразмерного времени  $\tau = \frac{qt}{\delta^2}$  при различных значениях теплоотдачи пластинки  $\kappa^* = \kappa\delta$  и величины  $\alpha = a/\delta$ , характеризующей степень загрузки разреза. Как видно из рисунка, при увеличении теплоотдачи пластинки или области загрузки разреза коэффициент интенсивности соответственно уменьшается или увеличивается, достигая максимального значения в стационарном режиме ( $\tau \rightarrow \infty$ ).

Пример 2. Рассмотрим случай, когда на части разреза  $a < x < a + l$  задана постоянная температура  $T_0$ , а при  $x > a + l$  поддерживается нулевая температура. Тогда из дуальных интегральных уравнений (7), полагая

$$T_1(x, t) = T_0[\theta(x - a) - \theta(x - a - l)]\theta(t),$$

находим

$$A(\xi, p) = \frac{T_0 l \sqrt{-i\beta}}{\sqrt{2\pi}} \left\{ \frac{l^{\xi a}}{\xi \sqrt{\xi - i\beta}} \operatorname{erf}(\sqrt{\beta l}) + \right. \\ \left. + \frac{i\sqrt{l}}{\sqrt{\beta}} \frac{l^{\xi(l+a)}}{\xi} \operatorname{erf}(\sqrt{l(\beta + i\xi)}) \right\}.$$

Определение коэффициентов интенсивности напряжений аналогично, как в примере 1.

Полученные в работе результаты могут быть использованы для сравнения с данными эксперимента по определению коэффициентов интенсивности напряжений, который в рассматриваемой постановке легко осуществим.

1. Кит Г. С., Побережный О. В. Нестационарная задача термоупругости для пластинки с трещиной при наличии теплоотдачи с боковых поверхностей.— Физ.-хим. механика материалов, 1976, 12, № 4, с. 73—78.
2. Кит Г. С., Побережный О. В. Интегральные уравнения нестационарных задач теплопроводности для тел с трещинами.— Мат. методы и физ.-мех. поля, 1980, вып. 12, с. 58—63.
3. Кудрявцев Б. А. Квазистатическая задача термоупругости для плоскости с полубесконечным разрезом.— Динамика сплошной среды, 1978, вып. 6, с. 29—31.
4. Кудрявцев Б. А., Партон В. Э. Квазистатическая температурная задача для плоскости с разрезом.— Пробл. прочности, 1970, № 2, с. 46—51.
5. Мухелишвили Н. И. Некоторые основные задачи математической теории упругости.— М.: Наука, 1966.— 707 с.
6. Нобл Б. Метод Винера — Хопфа.— М.: Изд-во иностр. лит., 1962.— 279 с.
7. Подстригач Я. С., Коляно Ю. М. Неустановившиеся температурные поля и напряжения в тонких пластинках.— Киев: Наук. думка, 1972.— 308 с.

Институт прикладных проблем  
механики и математики АН УССР

Поступила в редколлегию  
31.03.81

УДК 539.377

Б. С. Воробец

### ИССЛЕДОВАНИЕ ДИНАМИЧЕСКИХ ТЕМПЕРАТУРНЫХ НАПРЯЖЕНИЙ В ПОЛУПРОСТРАНСТВЕ СО СФЕРИЧЕСКИМ ВКЛЮЧЕНИЕМ

Рассмотрим упругое полупространство  $z \geq 0$ , отнесенное к цилиндрической системе координат  $r, \varphi, z$  (рис. 1). В полупространстве на некотором расстоянии  $d$  от плоской границы  $z = 0$  имеется сферическое включение, отнесенное к сферической системе координат  $\rho, \varphi, \theta$  (рис. 1). Включение представляет собой тонкую упругую замкнутую сферическую оболочку толщины  $2\delta_0$  с теплопроводным мягким наполнителем (жесткость наполнителя мала по сравнению с жесткостью оболочки и полупространства); при этом в области  $\rho \leq R_1$  ( $R_1 < d$ ), занятой наполнителем, действуют периодические во времени источники тепла интенсивности

$$q(\tau) = q_1 \exp(i\omega\tau) \quad (\omega, q_1 = \text{const}) \quad (1)$$

( $\tau$  — время). На контактирующих поверхностях (полупространство — оболочка, оболочка — наполнитель) выполняются условия идеального теплового контакта. Между оболочкой и полупространством существует жесткое сцепление. На плоской поверхности полупространства  $z = 0$ , свободной от внешних нагрузок, происходит теплообмен с окружающей средой (температуру которой принимаем равной нулю) по закону Ньютона. При таких условиях и распределении источников тепла (1) температурное поле и напряженно-деформированное состояние системы не будут зависеть от координаты  $\varphi$ . Решения сформулированных выше задач теплопроводности и динамической задачи термоупругости для полупространства с рассматриваемым включением приведены в работе [1]. В этой работе методом последовательных приближений получены решения указанных задач, представленные в виде аналитических соотношений, с помощью которых для значений температуры, перемещений и напряжений в полупространстве, а также усилий и моментов в оболочке определяется любое приближение по предыдущим. В настоящей работе доказывается сходимость этого метода, а также приводятся результаты численных исследований динамических напряжений в полупространстве и усилий в подкрепляющей оболочке.

**О сходимости решения.** Функции  $F, H$  и  $\Psi$ , через которые определяются все компоненты, характеризующие термонапряженное состояние

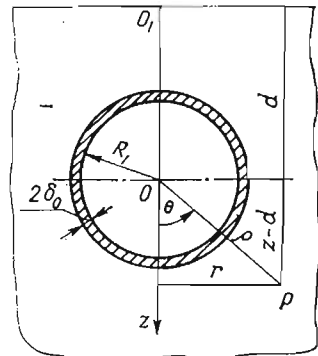


Рис. 1